

## CAPITOLO 6

### ESEMPI

In questo capitolo vengono presentati alcuni esempi accademici relativi alle quattro condizioni di unicità con le relative stime di stabilità. Vengono elencati, per ogni esempio, i valori numerici delle tre grandezze. Ogni esempio richiede il calcolo di due soluzioni dello stesso problema inverso per poter applicare le stime di stabilità:

- soluzione di riferimento.
- soluzione dovuta a dati di potenziale "perturbati".

Gli esempi sono stati svolti utilizzando interamente l'applicazione.

**Notazione:** Verrà utilizzato il carattere normale per indicare le funzioni nel continuo ( e.g.  $t(\cdot)$  ) mentre si utilizzerà il grassetto ( e.g.  $\mathbf{t}_{1,2}$  ) per le funzioni discretizzate.

ATTENZIONE: l'esempio è descritto e svolto nelle pagine di testo.

Le fotografie riguardano lo svolgimento di altri problemi ed hanno solo scopo illustrativo.

## 6.2 - ESEMPIO 2 ( Probl. di Cauchy regolare: conducibilità stazionaria )

### A) Problema di riferimento

Il dominio è  $D = ( 0,1 )$ .

Potenziale:  $u(x) = x^2 + x$ .

not 51 e 2

Sorgente:  $f(x) = 6x^2 - 2x + (3/2)$ .

not 51 e 2

La *conducibilità* è data dall'espressione:

$$t(x) = (x - (1/2))^2 + 1$$

**C.1 - FINESTRA PRINCIPALE ( MAIN WINDOW )**

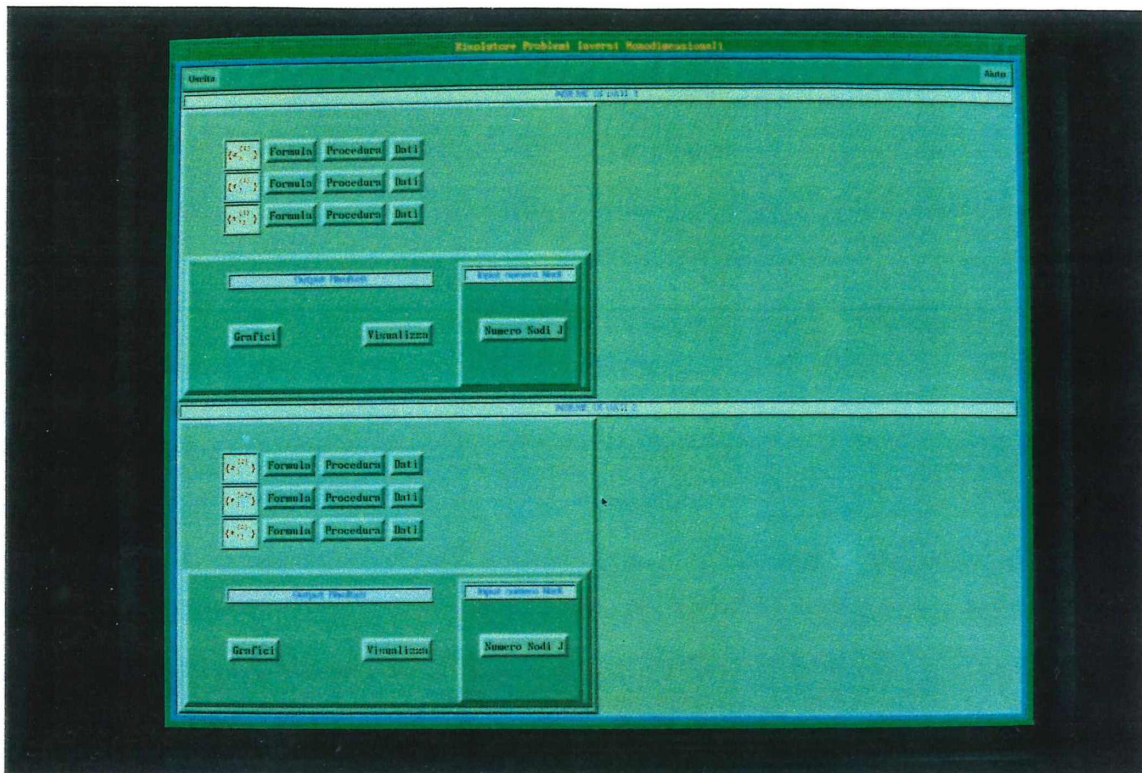


Fig. C.1 - Finestra Principale ( Main Window )

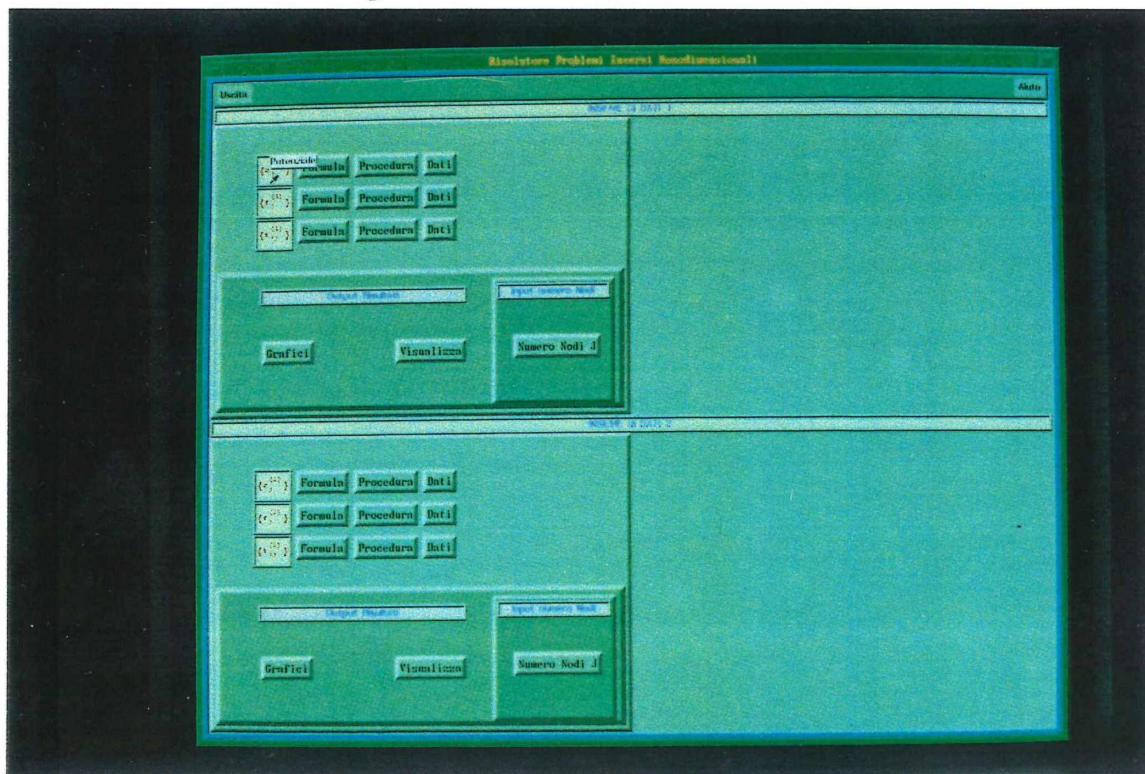


Fig. C.2 - Main Window: Etichetta descrittiva



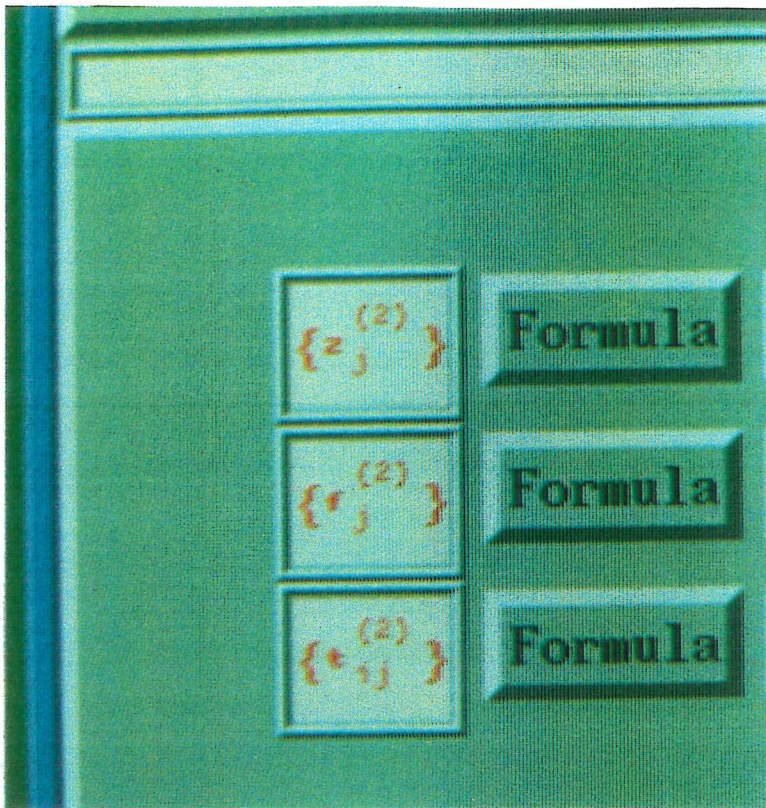


Fig. C.3 - Particolare Icone botoniera principale

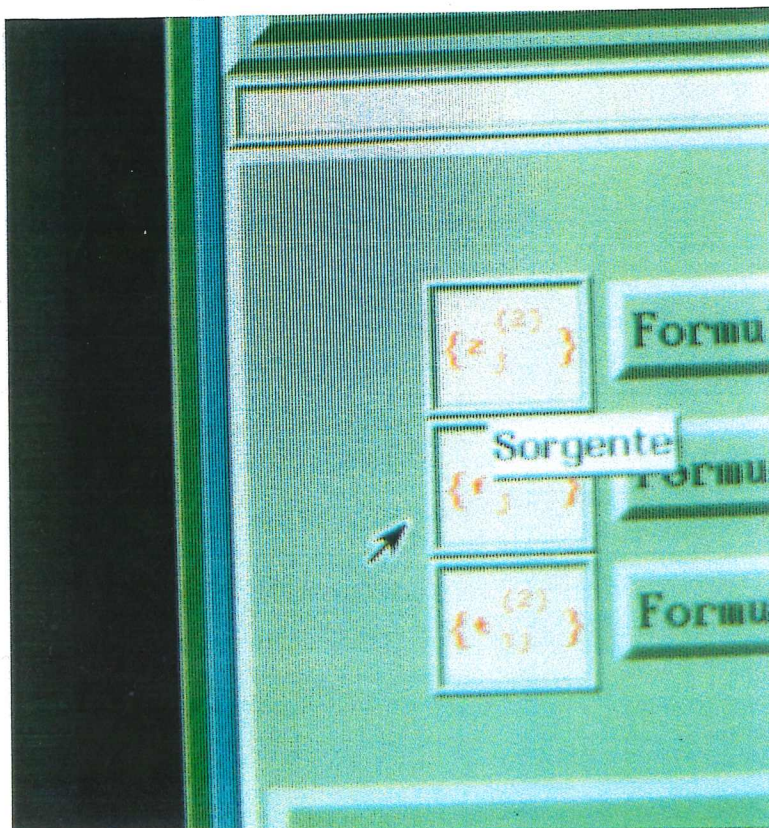


Fig. C.4 - Particolare icone: Etichetta descrittiva

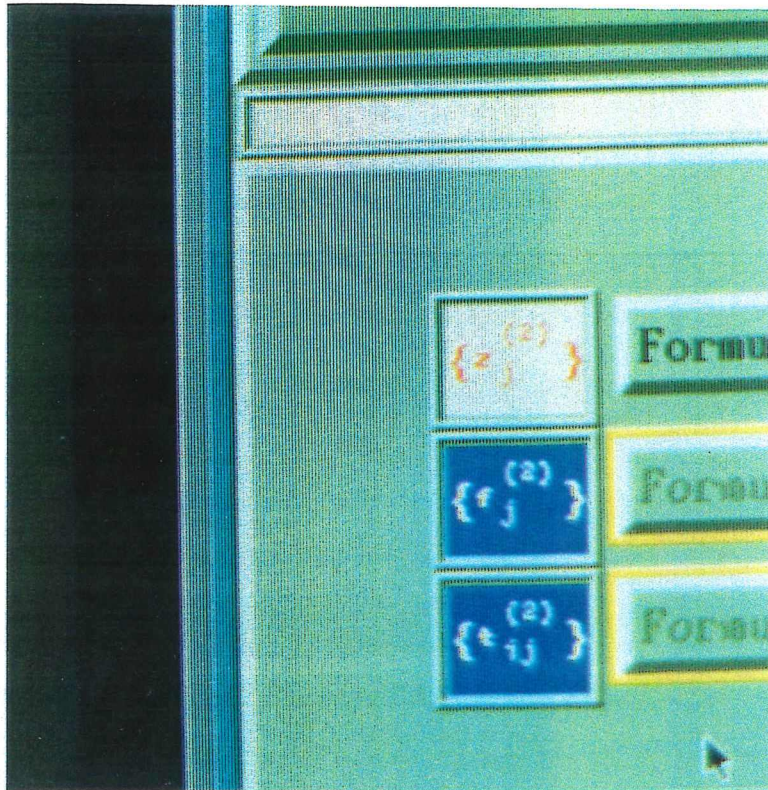


Fig. C.5 - Particolare icone: Cambio di colore su selezione



## C.2 - FINESTRA IMMISSIONE NUMERO DEI NODI

ATTENZIONE: i valori inseriti nelle finestre in fotografia riguardano altri problemi e devono perciò essere cambiati affinché corrispondano all'esempio corrente.

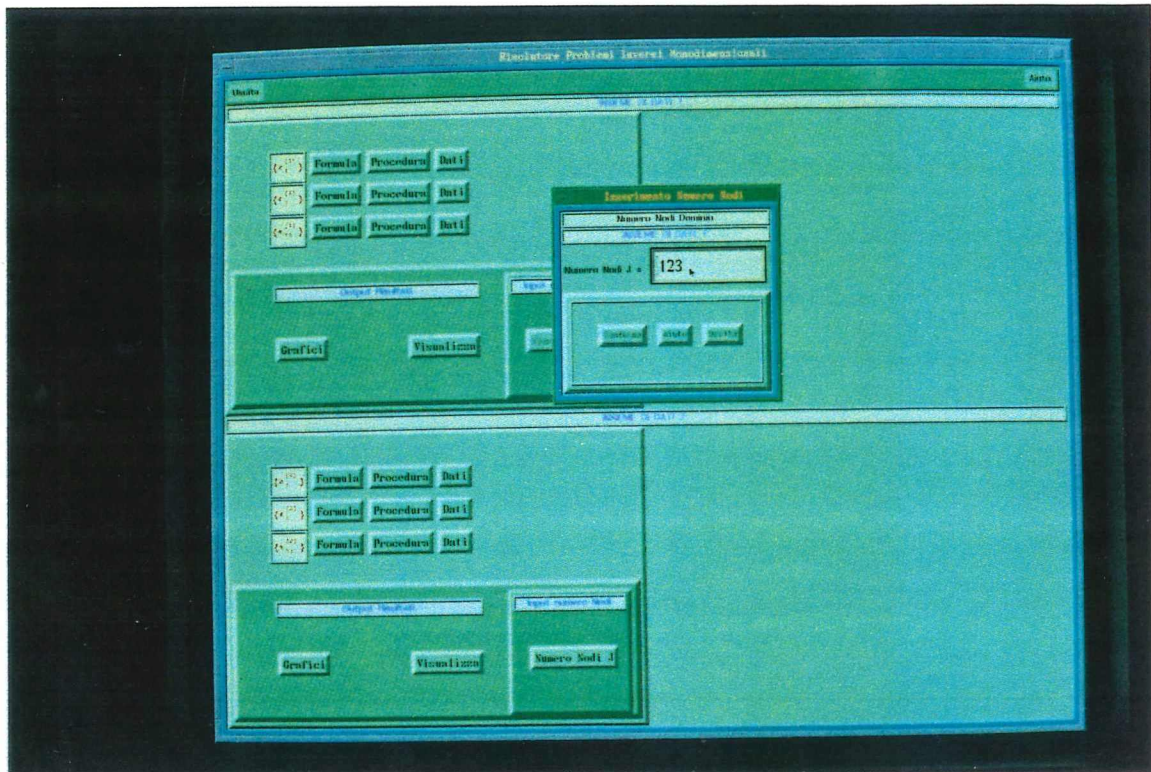


Fig. C.6 - Finestra per l'input del numero di nodi

### C.3 - PROCEDURA

#### C.3.1 - Procedura Potenziale

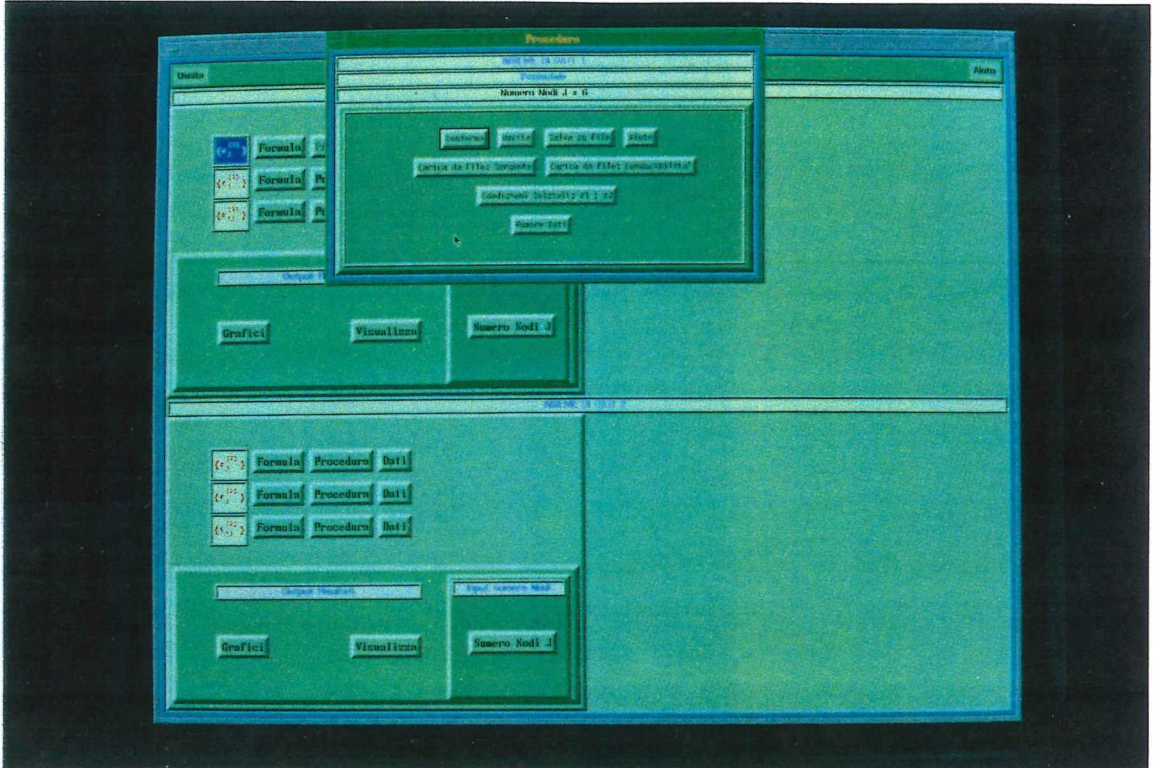


Fig. C.7 - Bottoniera per attivare *Procedura* potenziale

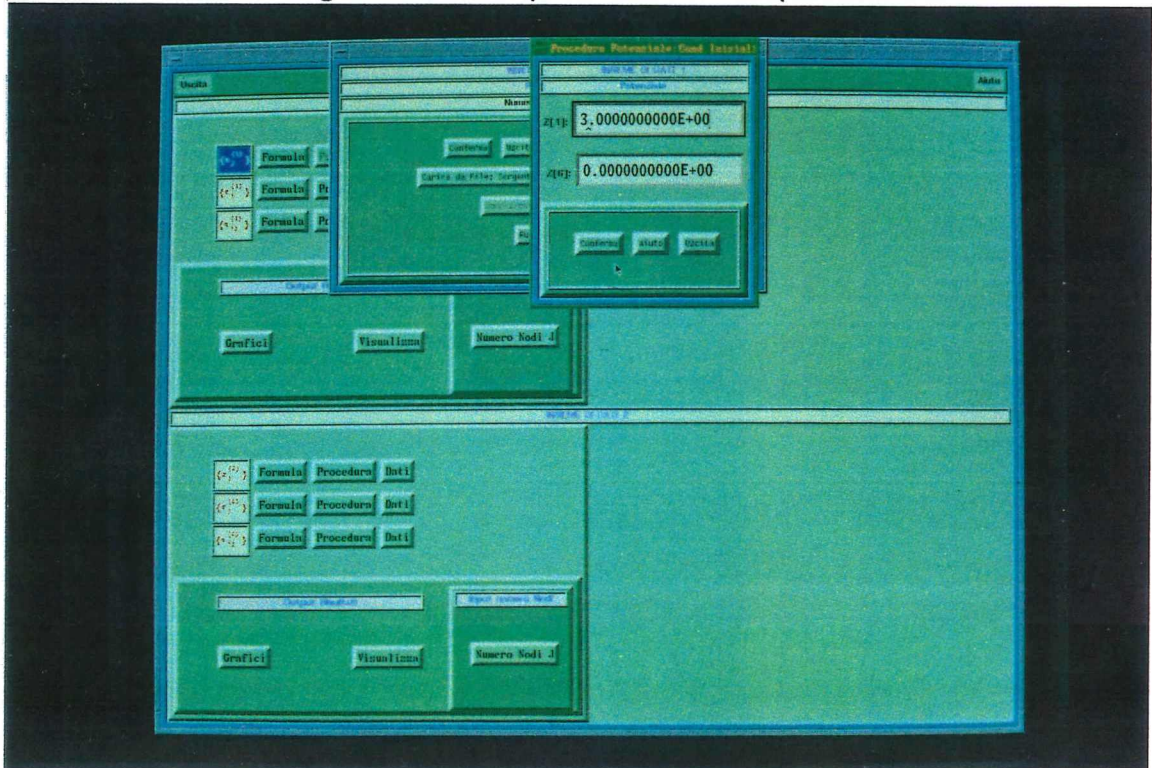


Fig. C.8 - Finestra per introduzione dati iniziali  $z_1$  e  $z_J$



**C.3.2 - Procedura Sorgente**

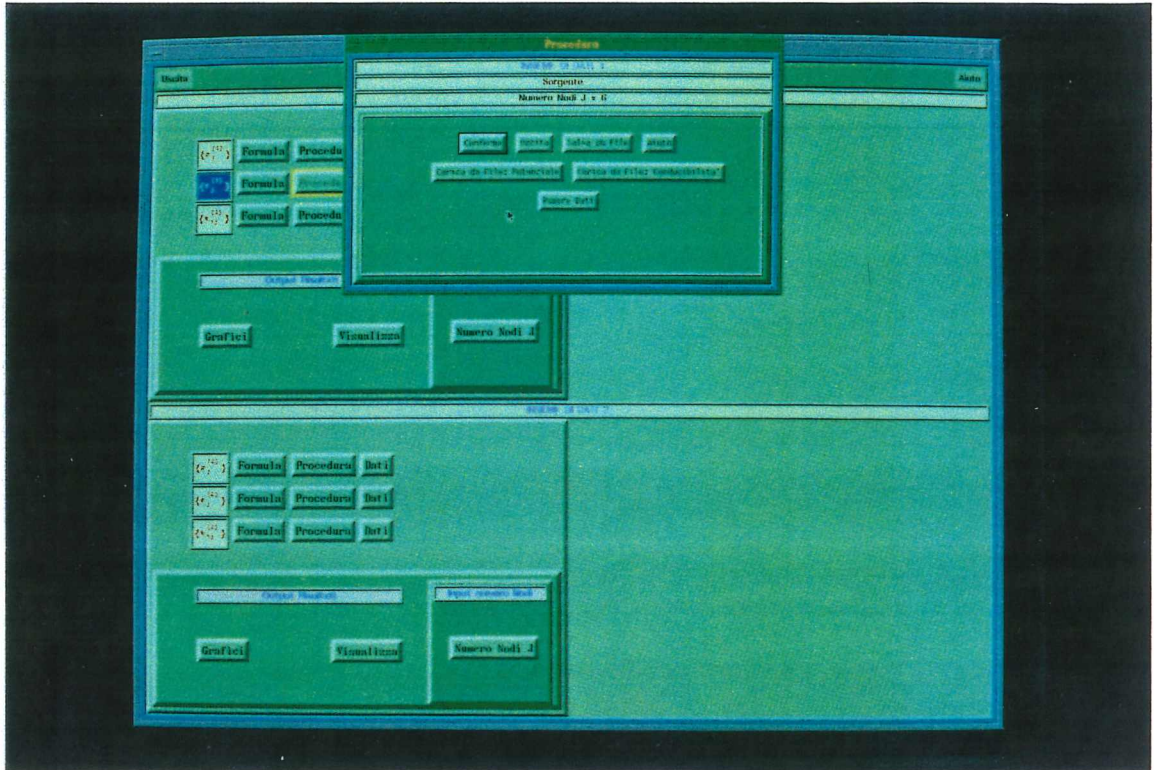


Fig. C.9 - Bottoniera per attivare *Procedura* termini di sorgente



## C.4 - FORMULE

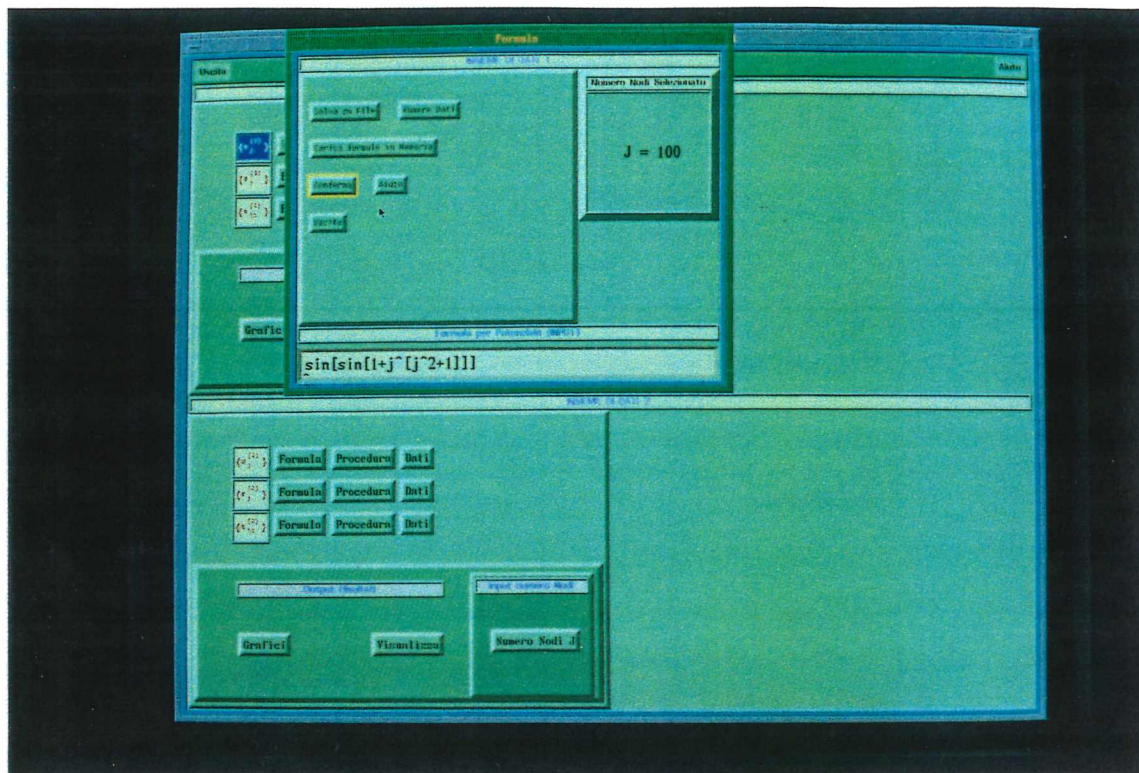


Fig. C.16 - Finestra per introduzione formule

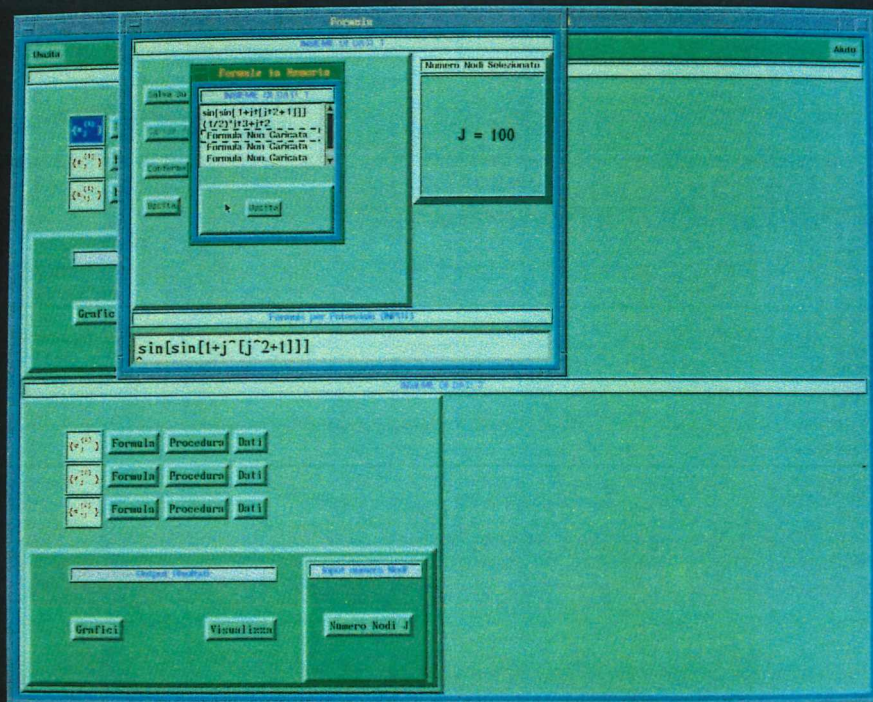


Fig. C.17 - Formula: finestra per caricamento formule da memoria



### C.3.3 - Procedura Conducibilità

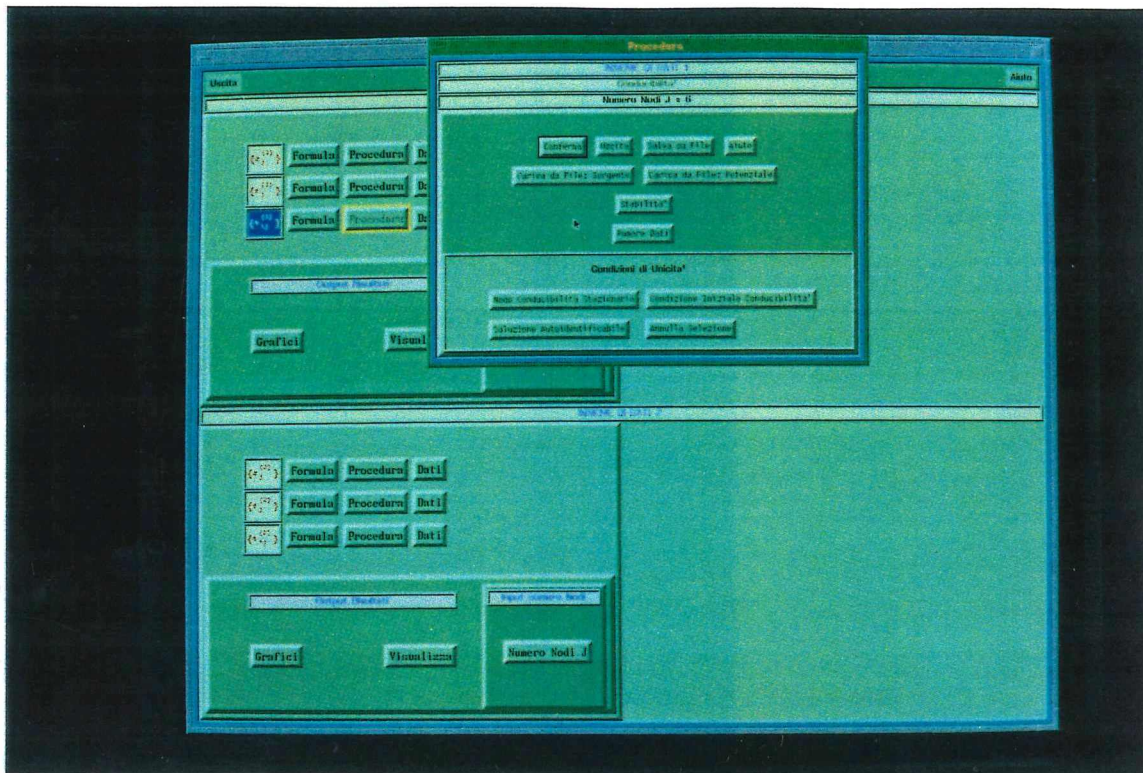


Fig. C.10 - Bottoniera per attivare *Procedura* conducibilità

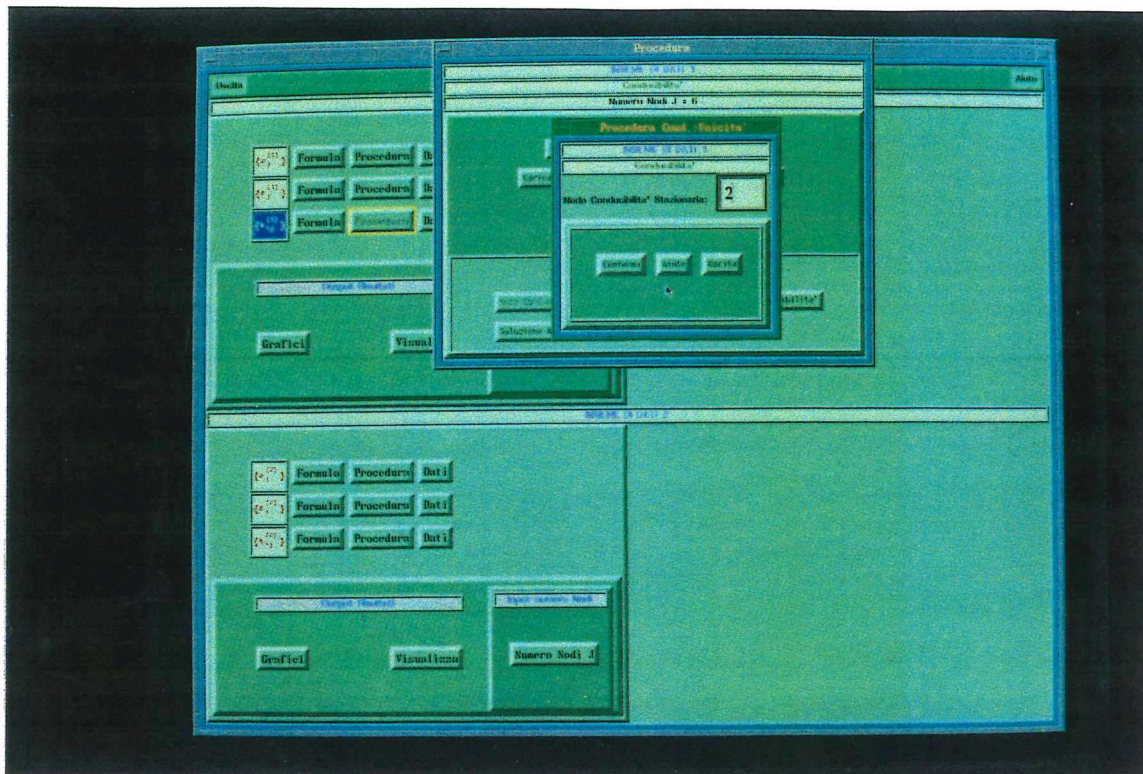


Fig. C.12 - Finestra per l'introduzione nodo conducibilità stazionaria



Esempio 2, PBM.1

Il potenziale non presenta punti critici, mentre la conducibilità possiede un *punto stazionario* nel punto  $x = (1/2)$ .

Se imposta il numero di nodi  $J = 51$  si ottiene che il punto stazionario della conducibilità corrisponde ai due intervalli contigui (25, 26) e (26, 27).

I valori del *potenziale* sono:

z_[1]: 0.000000000E+00	z_[2]: 2.040000000E-02	z_[3]: 4.160000000E-02
z_[4]: 6.360000000E-02	z_[5]: 8.640000000E-02	z_[6]: 1.100000000E-01
z_[7]: 1.344000000E-01	z_[8]: 1.596000000E-01	z_[9]: 1.856000000E-01
z_[10]: 2.124000000E-01	z_[11]: 2.400000000E-01	z_[12]: 2.684000000E-01
z_[13]: 2.976000000E-01	z_[14]: 3.276000000E-01	z_[15]: 3.584000000E-01
z_[16]: 3.900000000E-01	z_[17]: 4.224000000E-01	z_[18]: 4.556000000E-01
z_[19]: 4.896000000E-01	z_[20]: 5.244000000E-01	z_[21]: 5.600000000E-01
z_[22]: 5.964000000E-01	z_[23]: 6.336000000E-01	z_[24]: 6.716000000E-01
z_[25]: 7.104000000E-01	z_[26]: 7.500000000E-01	z_[27]: 7.904000000E-01
z_[28]: 8.316000000E-01	z_[29]: 8.736000000E-01	z_[30]: 9.164000000E-01
z_[31]: 9.600000000E-01	z_[32]: 1.004400000E+00	z_[33]: 1.049600000E+00
z_[34]: 1.095600000E+00	z_[35]: 1.142400000E+00	z_[36]: 1.190000000E+00
z_[37]: 1.238400000E+00	z_[38]: 1.287600000E+00	z_[39]: 1.337600000E+00
z_[40]: 1.388400000E+00	z_[41]: 1.440000000E+00	z_[42]: 1.492400000E+00
z_[43]: 1.545600000E+00	z_[44]: 1.599600000E+00	z_[45]: 1.654400000E+00
z_[46]: 1.710000000E+00	z_[47]: 1.766400000E+00	z_[48]: 1.823600000E+00
z_[49]: 1.881600000E+00	z_[50]: 1.940400000E+00	z_[51]: 2.000000000E+00

I *termini di sorgente* sono:

f_[1]: 1.500000000E+00	f_[2]: 1.462400000E+00	f_[3]: 1.429600000E+00
f_[4]: 1.401600000E+00	f_[5]: 1.378400000E+00	f_[6]: 1.360000000E+00
f_[7]: 1.346400000E+00	f_[8]: 1.337600000E+00	f_[9]: 1.333600000E+00
f_[10]: 1.334400000E+00	f_[11]: 1.340000000E+00	f_[12]: 1.350400000E+00
f_[13]: 1.365600000E+00	f_[14]: 1.385600000E+00	f_[15]: 1.410400000E+00
f_[16]: 1.440000000E+00	f_[17]: 1.474400000E+00	f_[18]: 1.513600000E+00
f_[19]: 1.557600000E+00	f_[20]: 1.606400000E+00	f_[21]: 1.660000000E+00
f_[22]: 1.718400000E+00	f_[23]: 1.781600000E+00	f_[24]: 1.849600000E+00
f_[25]: 1.922400000E+00	f_[26]: 2.000000000E+00	f_[27]: 2.082400000E+00
f_[28]: 2.169600000E+00	f_[29]: 2.261600000E+00	f_[30]: 2.358400000E+00
f_[31]: 2.460000000E+00	f_[32]: 2.566400000E+00	f_[33]: 2.677600000E+00
f_[34]: 2.793600000E+00	f_[35]: 2.914400000E+00	f_[36]: 3.040000000E+00
f_[37]: 3.170400000E+00	f_[38]: 3.305600000E+00	f_[39]: 3.445600000E+00
f_[40]: 3.590400000E+00	f_[41]: 3.740000000E+00	f_[42]: 3.894400000E+00
f_[43]: 4.053600000E+00	f_[44]: 4.217600000E+00	f_[45]: 4.386400000E+00
f_[46]: 4.560000000E+00	f_[47]: 4.738400000E+00	f_[48]: 4.921600000E+00
f_[49]: 5.109600000E+00	f_[50]: 5.302400000E+00	f_[51]: 5.500000000E+00

→ I valori della *conducibilità di riferimento* determinata indicando al programma il numero del nodo centrale ( $j = 26$ ):

$t_{[1,2]}$ : 1.240000000E+00  $t_{[2,3]}$ : 1.220800000E+00  $t_{[3,4]}$ : 1.202400000E+00  
 $t_{[4,5]}$ : 1.184800000E+00  $t_{[5,6]}$ : 1.168000000E+00  $t_{[6,7]}$ : 1.152000000E+00  
 $t_{[7,8]}$ : 1.136800000E+00  $t_{[8,9]}$ : 1.122400000E+00  $t_{[9,10]}$ : 1.108800000E+00  
 $t_{[10,11]}$ : 1.096000000E+00  $t_{[11,12]}$ : 1.084000000E+00  $t_{[12,13]}$ : 1.072800000E+00  
 $t_{[13,14]}$ : 1.062400000E+00  $t_{[14,15]}$ : 1.052800000E+00  $t_{[15,16]}$ : 1.044000000E+00  
 $t_{[16,17]}$ : 1.036000000E+00  $t_{[17,18]}$ : 1.028800000E+00  $t_{[18,19]}$ : 1.022400000E+00  
 $t_{[19,20]}$ : 1.016800000E+00  $t_{[20,21]}$ : 1.012000000E+00  $t_{[21,22]}$ : 1.008000000E+00  
 $t_{[22,23]}$ : 1.004800000E+00  $t_{[23,24]}$ : 1.002400000E+00  $t_{[24,25]}$ : 1.000800000E+00  
 $t_{[25,26]}$ : 1.000000000E+00  $t_{[26,27]}$ : 1.000000000E+00  $t_{[27,28]}$ : 1.000800000E+00  
 $t_{[28,29]}$ : 1.002400000E+00  $t_{[29,30]}$ : 1.004800000E+00  $t_{[30,31]}$ : 1.008000000E+00  
 $t_{[31,32]}$ : 1.012000000E+00  $t_{[32,33]}$ : 1.016800000E+00  $t_{[33,34]}$ : 1.022400000E+00  
 $t_{[34,35]}$ : 1.028800000E+00  $t_{[35,36]}$ : 1.036000000E+00  $t_{[36,37]}$ : 1.044000000E+00  
 $t_{[37,38]}$ : 1.052800000E+00  $t_{[38,39]}$ : 1.062400000E+00  $t_{[39,40]}$ : 1.072800000E+00  
 $t_{[40,41]}$ : 1.084000000E+00  $t_{[41,42]}$ : 1.096000000E+00  $t_{[42,43]}$ : 1.108800000E+00  
 $t_{[43,44]}$ : 1.122400000E+00  $t_{[44,45]}$ : 1.136800000E+00  $t_{[45,46]}$ : 1.152000000E+00  
 $t_{[46,47]}$ : 1.168000000E+00  $t_{[47,48]}$ : 1.184800000E+00  $t_{[48,49]}$ : 1.202400000E+00  
 $t_{[49,50]}$ : 1.220800000E+00  $t_{[50,51]}$ : 1.240000000E+00

*Esempio 2, segue*

### B) Secondo problema

Il dominio è  $D = (0, 1)$ .

*Potenziale:*  $v(x) = (1 + \varepsilon)(x^2 + x)$  *pot 51 e 2 p*

*Sorgente:*  $f(x) = 6x^2 - 2x + (3/2)$ . *sor 51 e 2*

Il potenziale in questo esempio viene "perturbato" con legge deterministica mediante il parametro  $\varepsilon$ . Il termine di sorgente deve essere lo stesso nei due problemi per poter applicare le formule di stabilità. Il numero di nodi è  $J = 51$ .

*La conducibilità  $b$ , in conseguenza della variazione di potenziale da  $u[x]$  a  $v[x]$  potrebbe essere più stazionaria in  $x = \frac{1}{2}$*

Si noti che per applicare la stima di stabilità per maggiorazione indicata nella ( 2.44 ) si imposta come condizione di unicità quella relativa ad un problema di Cauchy regolare con valore noto della conducibilità. Si



Esempio 2, PBM. 2

sceglie, per semplicità, come dato di Cauchy il valore nel punto  $j = 0$  della conducibilità di riferimento. Indicata con  $b(\cdot)$  la conducibilità risultante da questo problema si ha:

$$b(0) = t(0) = (5/4). \quad 1.25$$

La *conducibilità* ottenuta per questo problema è:

$$b(x) = \frac{(2x^3 - x^2 + \frac{3}{2}x) + \frac{5(1 + \varepsilon)}{4}}{(1 + \varepsilon)(2x + 1)}$$

ove la costante  $c$  di integrazione è stata eliminata come detto sopra.

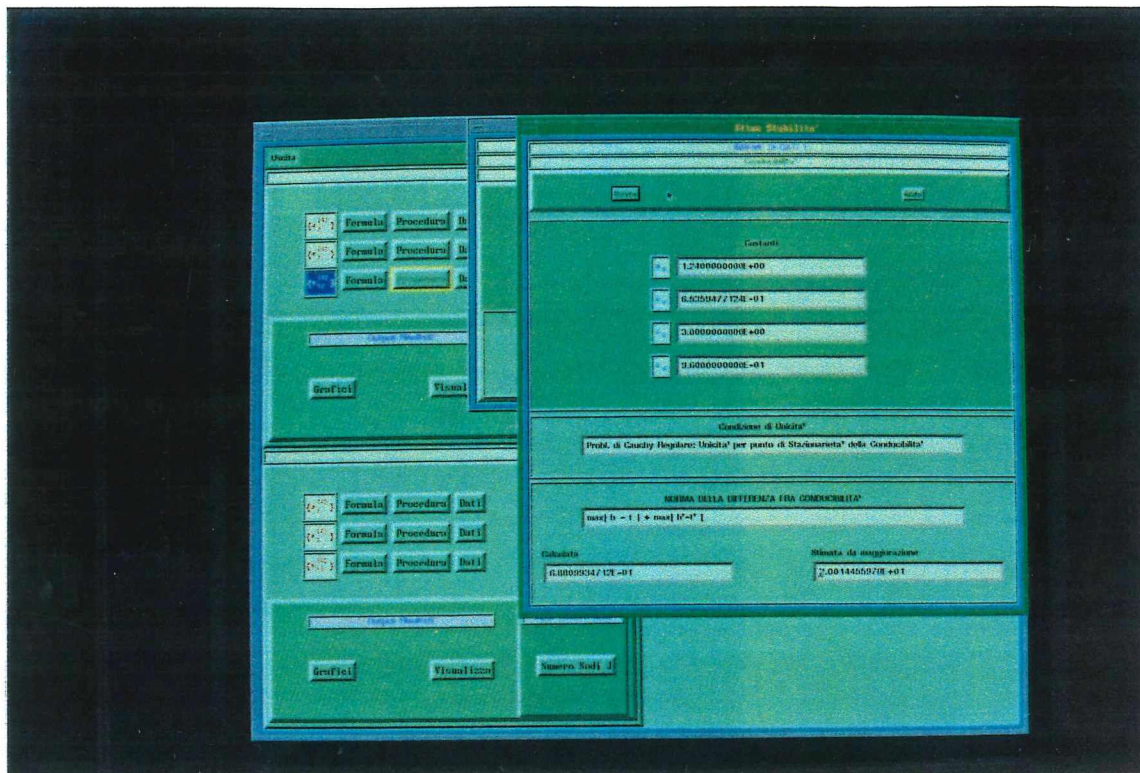
### Osservazione:

Manifestamente si ha  $\lim_{\varepsilon \rightarrow 0} b = t$ .

I valori del *potenziale perturbato* con  $\varepsilon = 0.5$  sono:

z_[1]: 0.0000000000E+00	z_[2]: 3.0600000000E-02	z_[3]: 6.2400000000E-02
z_[4]: 9.5400000000E-02	z_[5]: 1.2960000000E-01	z_[6]: 1.6500000000E-01
z_[7]: 2.0160000000E-01	z_[8]: 2.3940000000E-01	z_[9]: 2.7840000000E-01
z_[10]: 3.1860000000E-01	z_[11]: 3.6000000000E-01	z_[12]: 4.0260000000E-01
z_[13]: 4.4640000000E-01	z_[14]: 4.9140000000E-01	z_[15]: 5.3760000000E-01
z_[16]: 5.8500000000E-01	z_[17]: 6.3360000000E-01	z_[18]: 6.8340000000E-01
z_[19]: 7.3440000000E-01	z_[20]: 7.8660000000E-01	z_[21]: 8.4000000000E-01
z_[22]: 8.9460000000E-01	z_[23]: 9.5040000000E-01	z_[24]: 1.0074000000E+00
z_[25]: 1.0656000000E+00	z_[26]: 1.1250000000E+00	z_[27]: 1.1856000000E+00
z_[28]: 1.2474000000E+00	z_[29]: 1.3104000000E+00	z_[30]: 1.3746000000E+00
z_[31]: 1.4400000000E+00	z_[32]: 1.5066000000E+00	z_[33]: 1.5744000000E+00
z_[34]: 1.6434000000E+00	z_[35]: 1.7136000000E+00	z_[36]: 1.7850000000E+00
z_[37]: 1.8576000000E+00	z_[38]: 1.9314000000E+00	z_[39]: 2.0064000000E+00
z_[40]: 2.0826000000E+00	z_[41]: 2.1600000000E+00	z_[42]: 2.2386000000E+00
z_[43]: 2.3184000000E+00	z_[44]: 2.3994000000E+00	z_[45]: 2.4816000000E+00
z_[46]: 2.5650000000E+00	z_[47]: 2.6496000000E+00	z_[48]: 2.7354000000E+00
z_[49]: 2.8224000000E+00	z_[50]: 2.9106000000E+00	z_[51]: 3.0000000000E+00

**C.3.4 - Stabilità**



**Fig. C.14 - Finestra Stabilità: Caso Pr. di Cauchy con punto stazionario conducibilità**



Esempio 2, Pire

I valori della *conducibilità* ottenuta assegnando al nodo 1 il valore

$$t_{[1,2]} = 1.240000000E+00. \text{ ( vedi Notazione )}$$

sono i seguenti:

$t_{[1,2]}$ : 1.240000000E+00     $t_{[2,3]}$ : 1.2116025157E+00     $t_{[3,4]}$ : 1.1848727273E+00  
 $t_{[4,5]}$ : 1.1596912281E+00     $t_{[5,6]}$ : 1.1359548023E+00     $t_{[6,7]}$ : 1.1135737705E+00  
 $t_{[7,8]}$ : 1.0924698413E+00     $t_{[8,9]}$ : 1.0725743590E+00     $t_{[9,10]}$ : 1.0538268657E+00  
 $t_{[10,11]}$ : 1.0361739130E+00     $t_{[11,12]}$ : 1.0195680751E+00     $t_{[12,13]}$ : 1.0039671233E+00  
 $t_{[13,14]}$ : 9.8933333333E -01     $t_{[14,15]}$ : 9.7563290043E -01     $t_{[15,16]}$ : 9.6283544304E -01  
 $t_{[16,17]}$ : 9.5091358025E -01     $t_{[17,18]}$ : 9.3984257028E -01     $t_{[18,19]}$ : 9.2960000000E -01  
 $t_{[19,20]}$ : 9.2016551724E -01     $t_{[20,21]}$ : 9.1152059925E -01     $t_{[21,22]}$ : 9.0364835165E -01  
 $t_{[22,23]}$ : 8.9653333333E -01     $t_{[23,24]}$ : 8.9016140351E -01     $t_{[24,25]}$ : 8.8451958763E -01  
 $t_{[25,26]}$ : 8.7959595960E -01     $t_{[26,27]}$ : 8.7537953795E -01     $t_{[27,28]}$ : 8.7186019417E -01  
 $t_{[28,29]}$ : 8.6902857143E -01     $t_{[29,30]}$ : 8.6687601246E -01     $t_{[30,31]}$ : 8.6539449541E -01  
 $t_{[31,32]}$ : 8.6457657658E -01     $t_{[32,33]}$ : 8.6441533923E -01     $t_{[33,34]}$ : 8.6490434783E -01  
 $t_{[34,35]}$ : 8.6603760684E -01     $t_{[35,36]}$ : 8.6780952381E -01     $t_{[36,37]}$ : 8.7021487603E -01  
 $t_{[37,38]}$ : 8.7324878049E -01     $t_{[38,39]}$ : 8.7690666667E -01     $t_{[39,40]}$ : 8.8118425197E -01  
 $t_{[40,41]}$ : 8.8607751938E -01     $t_{[41,42]}$ : 8.9158269720E -01     $t_{[42,43]}$ : 8.9769624060E -01  
 $t_{[43,44]}$ : 9.0441481481E -01     $t_{[44,45]}$ : 9.1173527981E -01     $t_{[45,46]}$ : 9.1965467626E -01  
 $t_{[46,47]}$ : 9.2817021277E -01     $t_{[47,48]}$ : 9.3727925408E -01     $t_{[48,49]}$ : 9.4697931034E -01  
 $t_{[49,50]}$ : 9.5726802721E -01     $t_{[50,51]}$ : 9.6814317673E -01

### Stima di stabilità

Per questo caso si è utilizzata la formula ( 2.44 ) discretizzata.

Le *costanti* utilizzate nella maggiorazione, in questo caso, sono:

- $a_H = 1.9905833073E+00$  ( vedi eq. ( 2.66 ) ). †
- $c_V = 6.2184720299E -01$  ( vedi eq. ( 2.67.a ) ). †
- ✓ •  $c_A = 9.6000000000E -01$  ( vedi eq. ( 2.70 ) ).
- ✓ •  $c_S = 3.0000000000E+00$  ( vedi eq. ( 2.71 ) ).

La norma definita dall'eq. ( 2.73 ) ha il seguente valore calcolato:

✓  $\| b - t \| \cong 6.8809934712E -01.$        $\max |b-t| + \max |b'-t'|$

Il valore che la maggiora secondo la ( 2.44 ) risulta essere:

✓  $2.0014455978E+01.$

Per la grafica, omessa qui per brevità, vedere lo svolgimento dell'Esempio 3.

Il prossimo risultato si applica alla condizione di unicità espressa dalla **Prop. 2.3**.

**Teorema 2.3:** ( stabilità di una soluzione unica mediante *stazionarietà* )

Poniamo che  $z, v$  soddisfino la ( 2.25 ) e ( 2.26 ) . Si suppone che  $a, B$  soddisfino rispettivamente la ( 2.22 ), ( 2.28 ) . In aggiunta alla disuguaglianza ( 2.39 ) poniamo che valgano i seguenti limiti superiori:

$$\max_{\mathbf{D}} | v'' | \leq c_S \quad ( 2.42 )$$

$$\| a' \|_{0, \infty} \leq c_A \quad ( 2.43 )$$

Allora

$$\| B \|_{1, \infty} \leq c_V [ 1 + a_H + c_A + ( c_S + 1 ) ( 2 a_H + | x_1 - x_2 | ) c_V ] \| V \|_{\mathcal{Z}} \quad ( 2.44 )$$

dove  $\| V \|_{\mathcal{Z}} = \| V \|_{2, \infty}$  .

### 2.1.2.2 - Stime per soluzioni di problemi di Cauchy singolari

Se  $z'(\cdot)$ , da cui  $v'(\cdot)$ , si annulla in qualche punto, le stime non possono più essere *uniformi* .

Questo è l'argomento di cui tratteranno i prossimi due Teoremi, i quali sono basati sulla condizione di unicità espressa dalla **Prop. 2.4** e richiederanno che i dati e le soluzioni siano più regolari.

L'esposizione seguirà lo stesso schema di quella del caso continuo.

Si noti che, per semplicità e con abuso di notazione, si utilizzeranno gli stessi simboli riguardo le costanti e le norme nel discreto di quelli utilizzati nel caso continuo anche se nel caso discreto si considerano spazi finito-dimensionali mentre nel caso continuo spazi infinito-dimensionali.

**2.2.2.1 - Stime per soluzioni di problemi di Cauchy regolari**

Quando l'unicità è dovuta al dato di Cauchy fornito in un punto regolare, la stima nel caso continuo è data dal **Teorema 2.2** il corrispettivo discreto comporta di sostituire alle norme che compaiono nella ( 2.40 ) le loro espressioni basate sui rapporti incrementali.

Più in dettaglio,

- La costante  $a_H$  è per definizione il massimo dei valori della soluzione di riferimento:

$$a_H = \max |t_{ij}| \quad \forall i,j \text{ con } 1 \leq i,j < J, \text{ con } i=j-1, \quad (2.66)$$

- La costante  $c_V$  invece dipende dalla condizione di unicità alla quale ogni stima fa riferimento. Qui vale la ( 2.39 ) dove alla grandezza  $v'$  nel caso discreto si sostituisce il rapporto incrementale

$$(v_{i+1} - v_i) / h_{i,i+1} \quad \forall i. \quad (2.67)$$

ottenendo

$$\max |h_{i,i+1} / (v_{i+1} - v_i)| \quad \forall i \text{ con } 1 \leq i < J \quad (2.67.a)$$



- la norma  $\| V \|_{\mathcal{X}}$  nel continuo è formata da due addendi; il primo addendo  $( \max | V | )$  fa sì che la  $\| V \|_{\mathcal{X}}$  sia effettivamente una norma mentre il secondo addendo  $( \| V \|_{L^\infty} = \| V' \|_{0, \infty} )$  è una *seminorma* .

Ai fini di stimare la stabilità il termine  $\max | V |$  può essere eliminato.

Quindi nel discreto si sostituisce a  $\| V \|_{\mathcal{X}}$  la grandezza:

$$\max | ( V_{i+1} - V_i ) / h_{i,i+1} | \quad \forall i \quad 1 \leq i \leq J \quad ( 2.68 )$$

- Alla norma  $\| B \|_{L^\infty} = \| B \|_{0, \infty}$  nel discreto si sostituisce

$$\max | ( b_i - a_i ) | \quad ( 2.69 )$$

Il risultato del **Teorema 2.3** nel continuo ( relativo ad unicità dovuta alla conoscenza di un punto stazionario della conducibilità ) si discretizza come segue:

- le costanti  $a_H$  e  $c_V$  con quelle definite sopra.
- la costante  $c_A$  definita nel caso continuo dalla ( 2.43 ) è il massimo modulo della derivata prima della soluzione di riferimento, che pertanto diviene:

$$c_A = \max | ( a_{i,i+1} - a_{i+1,i+2} ) / h_{i,i+1} | \quad ( 2.70 )$$

- la costante  $c_S$  definita dalla ( 2.42 ) è il massimo modulo della derivata seconda del potenziale  $v$  , che viene ora espressa da:

$$c_S = \max | ( v_{i+2} - 2v_{i+1} + v_i ) / ( h_{i,j+1} )^2 | \quad ( 2.71 )$$

Per approssimare la derivata seconda si ricorre all'*operatore centrale alle differenze finite* [Che '92] ,[Cug '77].

- la norma  $\| V \|_Z = \| V \|_{2, \infty}$  definita da

$$\| V \|_Z = \max | V | + \max | V' | + \max | V'' |$$

Viene sostituita dalle corrispondenti approssimazioni cioè da:

$$\| V \|_Z = \max | V | + \max | ( V_{i+1} - V_i ) / h_{i,j+1} | + \max | ( V_{i+2} - 2V_{i+1} + V_i ) / ( h_{i,j+1} )^2 | \quad \forall i \ 1 \leq i \leq J \quad ( 2.72 )$$

- Alla norma  $\| B \|_{1, \infty}$  definita da

$$\| B \|_{1, \infty} = \max | B | + \max | B' |$$

si sostituisce l'espressione:

$$\| B \|_{1, \infty} = \max | B | + \max | ( B_{i+1} - B_i ) / h_{i,j+1} | \quad \forall i \ 1 \leq i \leq J \quad ( 2.73 )$$

### 2.2.2.2 Stime per soluzioni di problemi di Cauchy singolari

Come si è visto nel caso di unicità dovute ad un problema di Cauchy singolare non è possibile una maggiorazione uniforme, cioè valida in ogni punto: la maggiorazione diviene di tipo *integrale* e la stima di stabilità vale in  $L^1$  o al più in  $L^p ( D )$  con  $1 \leq p < \infty$ .

Per esprimere il corrispettivo discreto del **Teorema 2.4** si ha